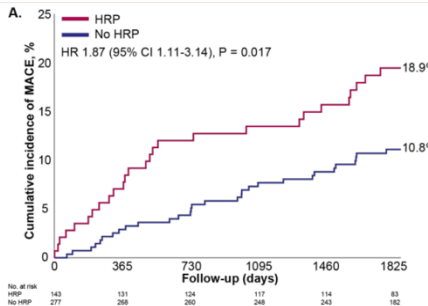
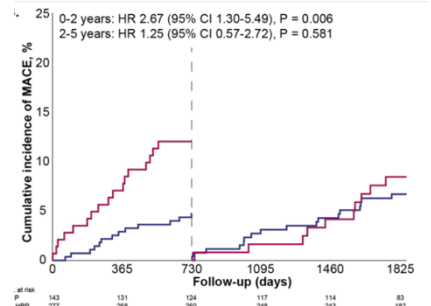


Szanowni Państwo,
kierujemy do Was kolejną edycję Newslettera AISN PTK zawierającą krótkie podsumowanie badań zaprezentowanych podczas kongresu EuroPCR 2026 w Paryżu, których wyniki zostały jednocześnie opublikowane w wiodących czasopismach kardiologicznych. Życzymy przyjemnej lektury.

CORONARY UPDATE



PECTUS-OBS
 Rick H.J.A. Volleberg
 i wsp.



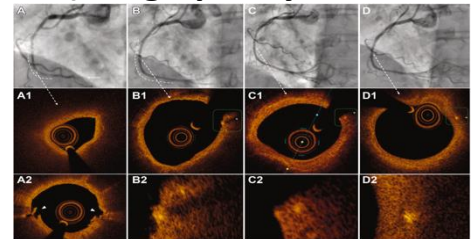
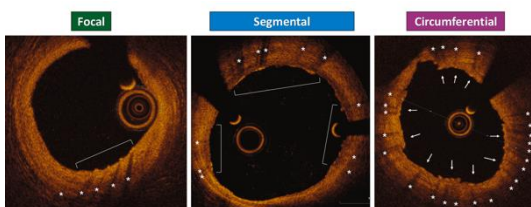
Cel: Ocena 5-letniego znaczenia prognostycznego high-risk plaque (HRP) w OCT u pacjentów po zawale serca z FFR-ujemnymi zmianami non-culprit z odroczoną rewaskularyzacją.

Wnioski:

- Obecność ≥ 1 HRP w FFR-ujemnych zmianach non-culprit wiązała się z większym ryzykiem MACE po 5 latach (HR 1,87; p=0,017).
- Ryzyko dotyczyło głównie zawału serca i nieplanowanej rewaskularyzacji, z największym nasileniem w pierwszych 2 latach obserwacji.

In-Human OCT Evidence of Acute Transfer and Persistence of Crystal-Like Deposits After Sirolimus-Coated Balloon (SCB) Angioplasty

Victor Alfonso
 Jimenez Diaz i wsp.



Cel: Charakterystyka ostrej dystrybucji i wczesnego utrzymywania się krystalicznych złogów po angioplastyce cSCB w zmianach de novo.

Wnioski:

- OCT bezpośrednio po cSCB uwidocznilo krystaliczne złogi sirolimusu/ekscypientu na powierzchni światła naczyń. Opisano trzy wzorce dystrybucji złogów: ogniskowy, segmentalny i okrężny.
- W seryjnym OCT złogi były stopniowo pokrywane tkanką, resorbowane bądź przemieszczane do ściany naczyń w okresie 4-miesięcznej obserwacji.

Red.

prof. dr hab. Mariusz Tomaniak

prof. dr hab. Zenon Huczek

dr hab. Michał Hawranek

dr hab. Maciej Dąbrowski

we współpracy z Grupami Roboczymi AISN PTK

AISN
 Dołącz do Nas!

Wspieramy rozwój kardiologii w Polsce.
 Organizujemy specjalistyczne konferencje, szkolenia, kursy i webinary.

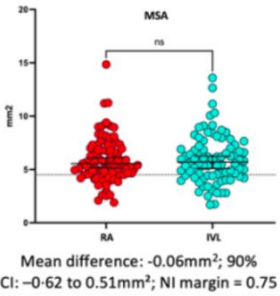
W AISN zrzeszonych jest już 1223 lekarzy kardiologów.
 Jesteśmy 5 największą grupą w Europie



ICARE OFDI

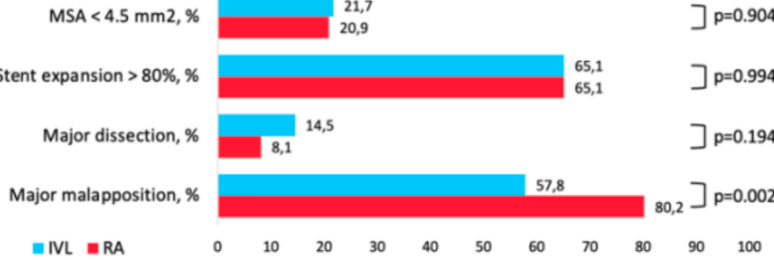
Benjamin Honton i wsp.

Primary endpoint : MSA by OFDI



MSA in RA group = $5.9 \pm 2.2\text{mm}^2$ Stent expansion > 80%, %
 MSA in IVL group = $6.0 \pm 2.3\text{mm}^2$

IVL preparation was non-inferior to RA preparation for MSA achievement



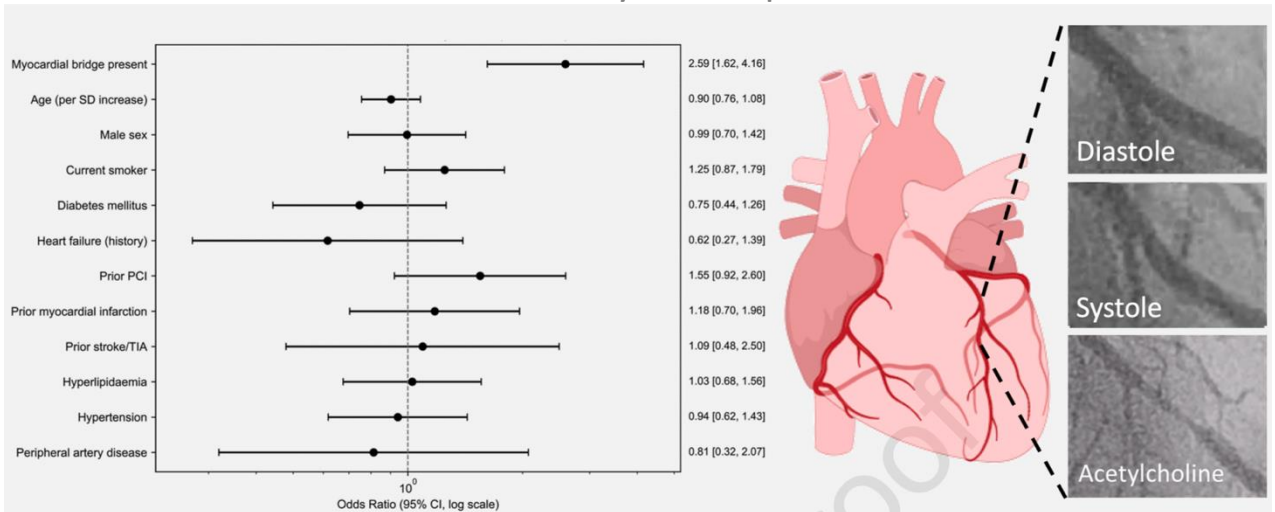
Cel: Porównanie skuteczności i bezpieczeństwa strategii modyfikacji uwapnionych blaszek miażdżycowych za pomocą litotrypsji wewnątrznaczyniowej (IVL) oraz aterektomii rotacyjnej (RA) przed implantacją stentu

Wnioski:

- Strategia IVL okazała się niegorsza (non-inferior) od RA pod względem uzyskanego MSA, w leczeniu umiarkowanych i silnych zwapnień wieńcowych, przy porównywalnym profilu bezpieczeństwa i wynikach klinicznych.
- W grupie IVL odnotowano istotnie mniejszą częstość występowania dużych malapozycji stentu w porównaniu z grupą RA (57,8% vs 80,2%; P=0,002).

Myocardial Bridging Independently Associates with Coronary Artery Spasm

Robert Sykes i wsp.



Cel: Ocena czy obecność mostka mięśniowego jest niezależnie związana ze skurczem tętnic wieńcowych indukowanym acetylocholiną.

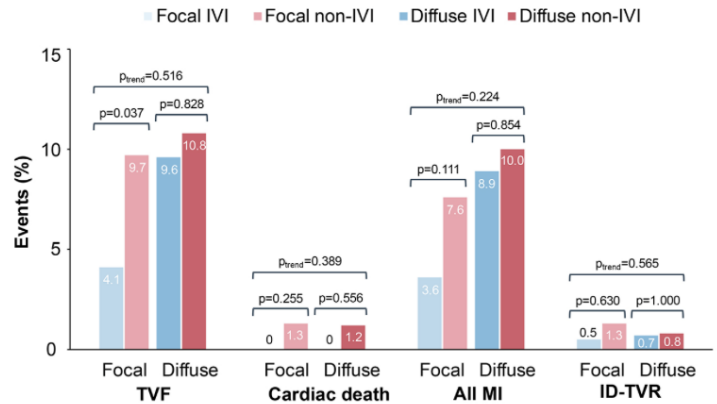
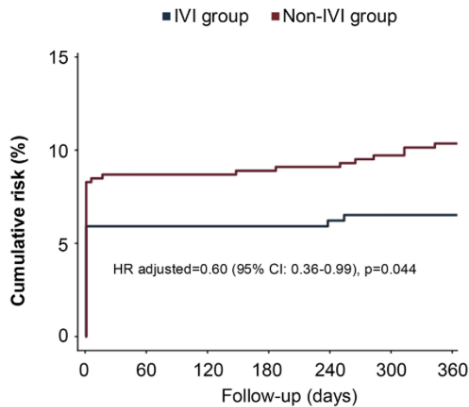
Wnioski:

- Obecność mostka mięśniowego była niezależnie związana ze skurczem tętnic wieńcowych indukowanym acetylocholiną (adjOR 2,59; 95% CI 1,62–4,10).

Impact of Intravascular Imaging on Clinical Outcomes in Focal Versus Diffuse Coronary Artery Disease

Tairo Arai i wsp.

Target vessel failure at 1 year



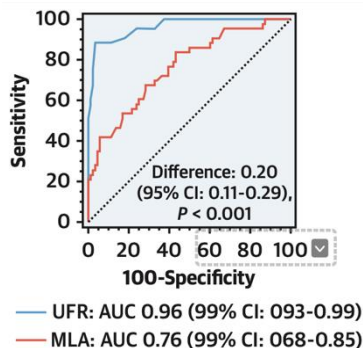
Cel: Ocena czy korzyść kliniczna z PCI pod kontrolą IVI zależy od fenotypu choroby wieńcowej - ogniskowego lub rozlanego - określonego na podstawie wskaźnika PPG.

Wnioski:

- PCI pod kontrolą IVI wiązała się z mniejszym ryzykiem TVF (aHR 0,60; p=0,044) oraz zgonu sercowego.
- Korzyść była widoczna głównie w chorobie ogniskowej (HR 0,41; p=0,029), a nie w chorobie rozlanej (HR 0,91; p=0,771).

Diagnostic Accuracy of Artificial Intelligence–Enhanced Ultrasonic Flow Ratio (UFR) for On-Site Assessment of Coronary Stenosis

Lili Liu i wsp.



| | UFR ≤ 0.80 | MLA $\leq 2.79 \text{ mm}^2$ |
|-------------------------|--------------------|------------------------------|
| Accuracy, % (95% CI) | 94 (88-97) | 72 (63-79) |
| Sensitivity, % (95% CI) | 88 (75-96) | 47 (31-62) |
| Specificity, % (95% CI) | 97 (90-99) | 84 (75-91) |
| PPV, % (95% CI) | 93 (81-97) | 59 (45-72) |
| NPV, % (95% CI) | 94 (88-97) | 76 (71-81) |
| + LR (95% CI) | 25.92 (8.48-79.24) | 2.92 (1.64-5.21) |
| - LR (95% CI) | 0.12 (0.05-0.28) | 0.64 (0.47-0.85) |

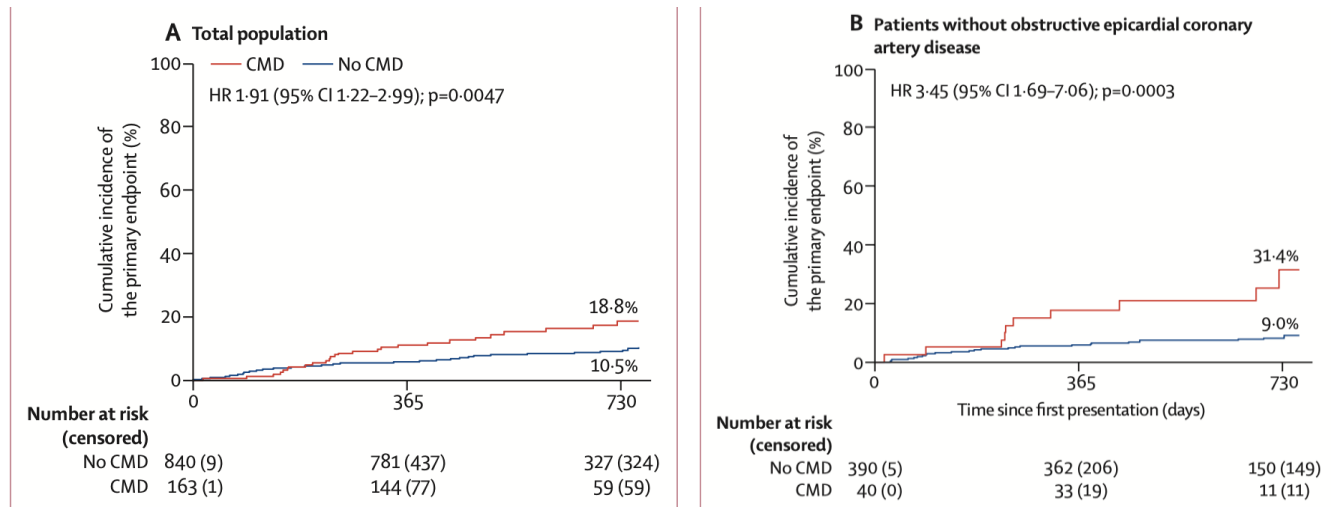
Cel: Prospektywna ocena dokładności diagnostycznej UFR obliczanego on-site z obrazów IVUS w identyfikacji zwężeń istotnych hemodynamicznie względem FFR.

Wnioski:

- UFR osiągnął 94% dokładności diagnostycznej w identyfikacji zwężeń z FFR $\leq 0,80$ (p<0,001 względem celu 78%).
- W porównaniu z MLA w IVUS, UFR miał większą czułość (88% vs 47%) i swoistość (97% vs 84%).

FLOW-CMD

Joo Myung Lee i wsp.



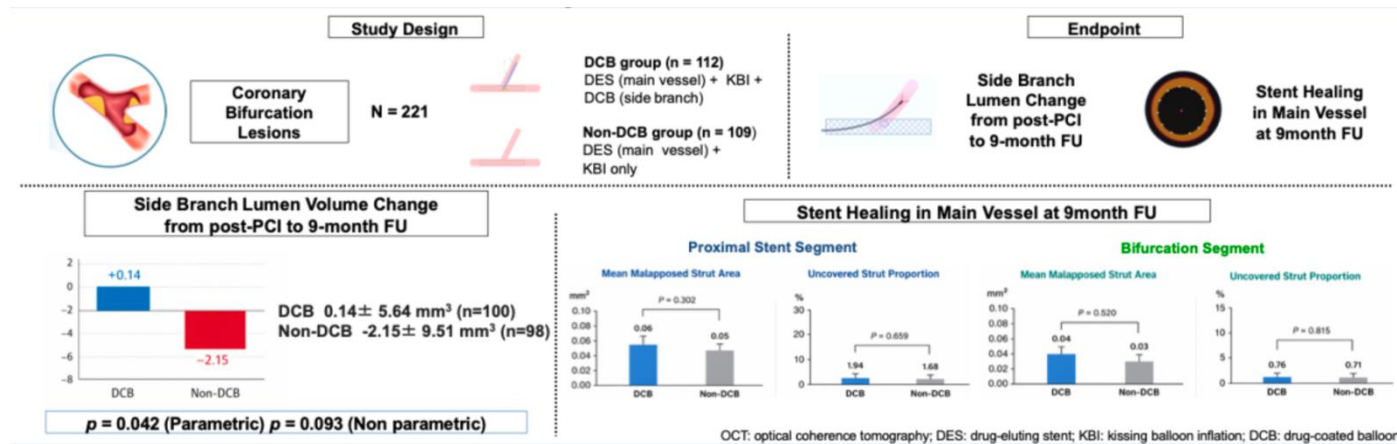
Cel: Ocena częstości występowania i znaczenia prognostycznego CMD ocenianej inwazyjnie u pacjentów kierowanych na koronarografię.

Wnioski:

- CMD stwierdzono u 21,5% pacjentów z obturacyjną CAD oraz u 9,3% chorych bez obturacyjnej CAD.
- CMD wiązała się z większym ryzykiem zgonu, MI, ponownej rewaskularyzacji lub hospitalizacji z powodu HF (HR 1,91; p=0,0047).

OCVC-BIF

Daisuke Nakamura i wsp.



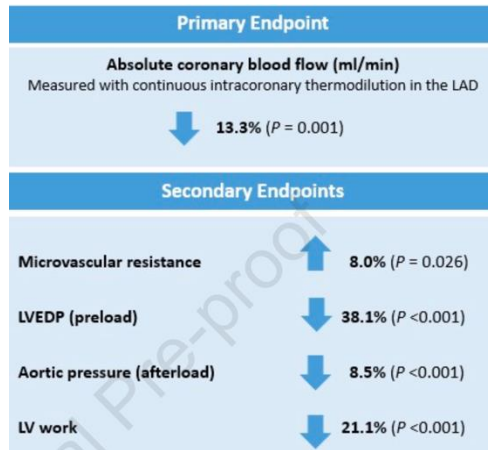
Cel: Ocena gojenia się naczyń po implantacji stentu w naczyniu głównym oraz zmian światła ujścia gałęzi bocznej w OCT po SB-DCB vs konwencjonalny cewnik balonowy po KBI.

Wnioski:

- SB-DCB po KBI nie pogarszał gojenia stentu w naczyniu głównym.
- W grupie SB-DCB obserwowano sygnał w kierunku lepszego zachowania objętości światła gałęzi bocznej po 9 miesiącach obserwacji.

Effect of sublingual nitroglycerin on absolute coronary blood flow: A randomised double-blind placebo-controlled mechanistic study

Thabo Mahendiran i wsp.



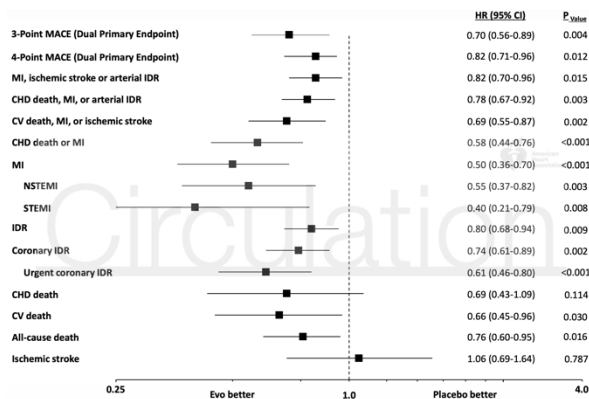
Cel: Ocena wpływu podjęzykowego podania nitrogliceryny (NTG) na bezwzględny przepływ wieńcowy, opór mikrokrążenia oraz funkcję lewej komory serca u pacjentów z dławicą piersiową.

Wnioski:

- Nitrogliceryna podana podjęzykowo spowodowała zmniejszenie preload o 38,1% ($p < 0,001$) i afterload 8,5% ($p < 0,001$) lewej komory, prowadząc do znacznego zmniejszenia pracy serca o 21,1%.
- Nitrogliceryna SL zmniejszyła bezwzględny spoczynkowy przepływ wieńcowy o 13,3% ($P = 0,001$) wskutek wzrostu oporu mikronaczyniowego o 8,0% ($P = 0,026$).

VESALIUS-CV

Brian A. Bergmark i wsp.



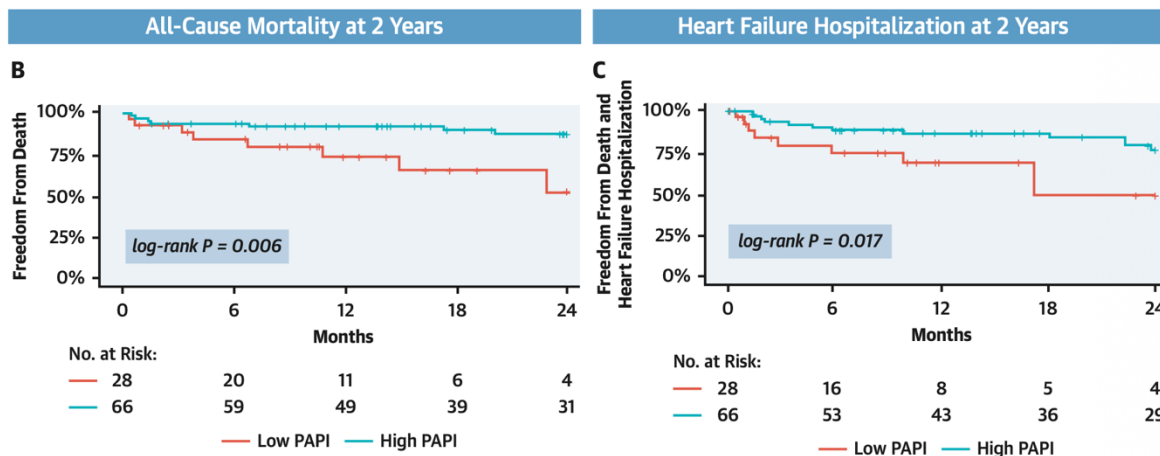
Cel: Ocena korzyści klinicznych intensywnego obniżania LDL-C ewolokumabem u stabilnych pacjentów po PCI bez przebytego zawału serca lub udaru.

Wnioski:

- Ewolokumab obniżył ryzyko 3-punktowego MACE o 30% (HR 0,70) oraz 4-punktowego MACE o 18% (HR 0,82).
- Ryzyko zawału serca zmniejszyło się o 50% (HR 0,50), a efekt był widoczny już po 6 miesiącach.
- Wyniki wspierają intensywną redukcję LDL-C po PCI także u chorych bez wcześniejszego MI.

Pulmonary Artery Pulsatility Index and Clinical Outcomes in Patients Undergoing Transcatheter Tricuspid Valve Replacement

Alice Moroni i wsp.



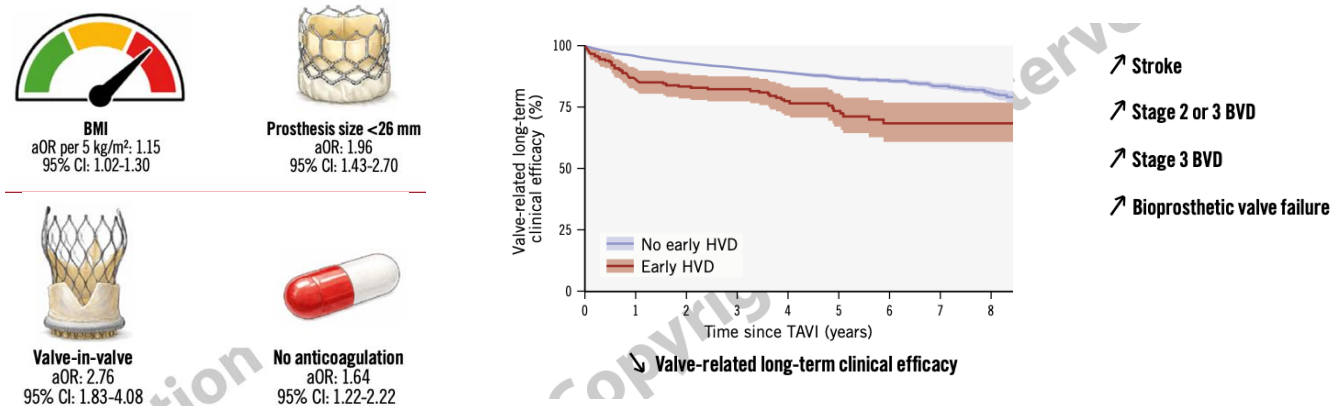
Cel: Ocena znaczenia prognostycznego przedproceduralnego PAPI u pacjentów poddawanych przezcewnikowej wymianie zastawki trójdzielnej (TTVR).

Wnioski:

- Niski przedproceduralny PAPI ($\leq 1,13$) identyfikował chorych wysokiego ryzyka i predykował zgon lub hospitalizację z powodu HF (HR 2,50; $p=0,018$).
- PAPI może być prostym narzędziem stratyfikacji ryzyka przed TTVR.

Prognostic value of early haemodynamic valve deterioration after TAVI

Antonin Trimaille i wsp.



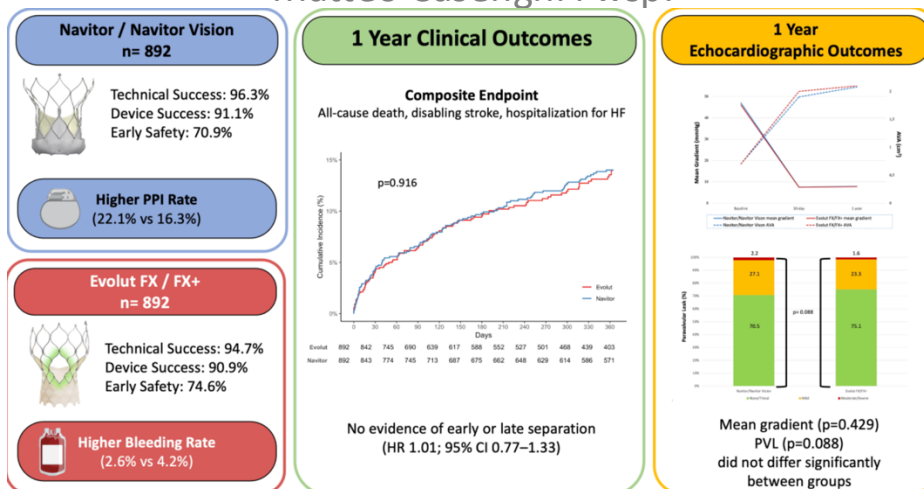
Cel: Ocena częstości, czynników predykcyjnych i długoterminowego znaczenia prognostycznego wczesnej HVD w ciągu 3 miesięcy po TAVI.

Wnioski:

- Wczesną HVD stwierdzono u 3,1% pacjentów po TAVI.
- Predyktorami HVD były wyższy BMI, rozmiar protezy <26 mm, valve-in-valve i brak OAC; HVD zwiększała ryzyko udaru, BVD i BVF.

HERA-TAVI

Matteo Casenghi i wsp.



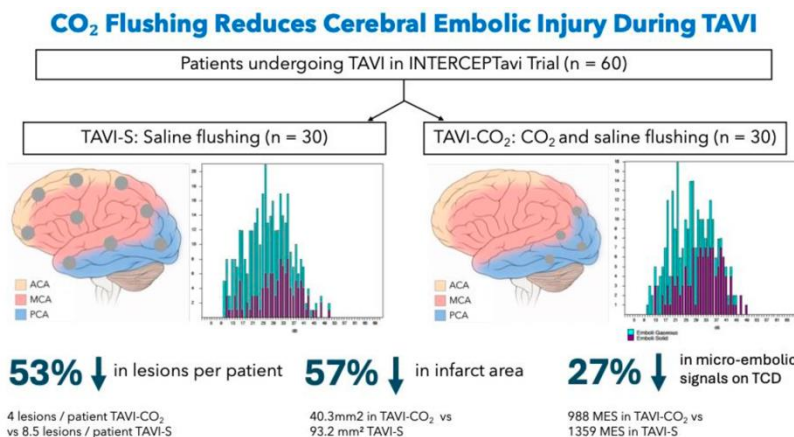
Cel: Porównanie 30-dniowych i rocznych wyników klinicznych oraz hemodynamicznych współczesnych samorozprężalnych zastawek TAVI IA i SA.

Wnioski:

- IA-SEV i SA-SEV miały podobny 1-roczny punkt kliniczny (HR 1,01; p=0,916).
- IA-SEV: więcej stymulatorów; SA-SEV: więcej dużych krwawień.

INTERCEPTavi

Saud Ahmed Khawaja i wsp.



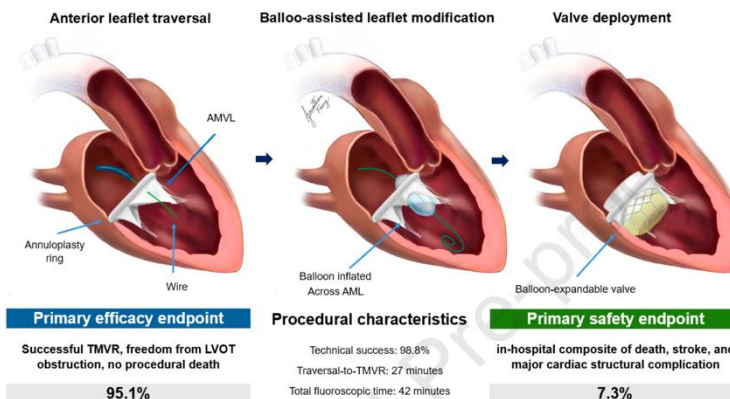
Cel: Ocena czy płukanie systemów TAVI dwutlenkiem węgla (CO₂) zmniejsza liczbę nowych zmian niedokrwiennych mózgu w MRI.

Wnioski:

- Płukanie CO₂ zmniejszyło średnią liczbę nowych zmian niedokrwiennych w DW-MRI po TAVI (4,0 vs 8,5/pacjenta; p=0,031).
- Całkowita powierzchnia zawałów mózgu była liczbowo mniejsza w grupie CO₂ (40,32 vs 93,20 mm²; p=0,111).
- Metoda jest prosta i potencjalnie łatwa do wdrożenia, ale wymaga potwierdzenia w większych badaniach.

BATMAN

Gennaro Giustino i wsp.



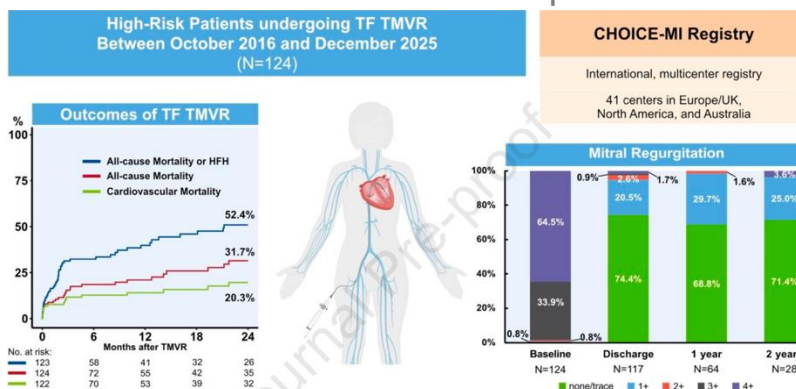
Cel: Ocena wykonalności i bezpieczeństwa techniki BATMAN w zapobieganiu niedrożności LVOT podczas TMVR u pacjentów wysokiego ryzyka.

Wnioski:

- Technika BATMAN pozwoliła na bardzo wysoką skuteczność proceduralną (98,8%).
- Główny punkt skuteczności - TMVR bez niedrożności LVOT i zgonu proceduralnego - osiągnięto u 95,1% pacjentów.
- Wewnątrzszpitalne powikłania (zgon/udar) wystąpiły u 7,3% (0% in ViR, 8.3% in ViV and 21.1% in ViMAC; p=0.02)

CHOICE-MI

Lena Strotmann i wsp.



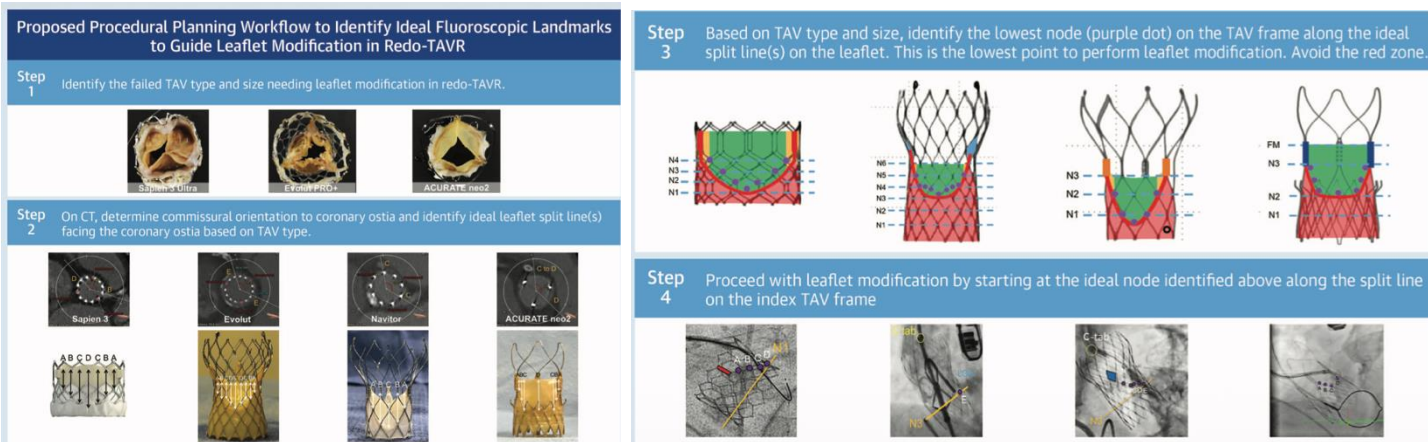
Cel: Ocena wyników klinicznych i echokardiograficznych po TF-TMVR z użyciem dedykowanych systemów.

Wnioski:

- TF-TMVR z użyciem dedykowanych systemów osiągnęła 91,1% sukcesu technicznego przy śmiertelności proceduralnej 0,8%.
- Redukcję MR do $\leq 1+$ uzyskano u 94,9% chorych przy wypisie, z utrzymaniem efektu w obserwacji.
- Po 2 latach punkt zgon/HF hospitalizacja wystąpił u 52,4%; AF pogarszało rokowanie, a sukces techniczny wiązał się z lepszym przeżyciem.

A Proposed Anatomic-Fluoroscopic Workflow to Identify the Optimal Split Line for Leaflet Modification in Redo-TAVR

Takayuki Onishi i wsp.



Cel: Wyjaśnienie relacji anatomicznych między płatkami TAV a elementami ramy protezy oraz zaproponowanie schematu planowania modyfikacji płatków w redo-TAVR.

Wnioski:

- Dla platform Sapien 3, Evolut, Navitor i ACURATE neo2 określono strefy modyfikowalne, trudne i niemodyfikowalne.
- Zaproponowano 4-etapowy workflow łączący CT i fluoroskopię w celu wyboru optymalnej linii przecięcia płatków.